

# 粒子-转子模型分析超形变转动带\*

陈星藻 邢正

(兰州大学现代物理系 兰州 730000)

1993年1月5日收到

## 摘要

利用三轴粒子-转子模型计算了 $^{193}\text{Tl}$ 超形变带 $\gamma$ 跃迁能量,运动学转动惯量 $J^{(1)}$ 和动力学转动惯量 $J^{(2)}$ ,并与实验值进行比较得到了满意的结果;预言了 $B(M1)$ 值以及动力学电四极矩 $Q^{(1)}$ 和 $Q^{(2)}$ 指出在超形变带的分析中粒子-转子模型是一种可以采用的方法。

**关键词** 核结构,转动带,超形变带,粒子-转子模型。

推转模型相当成功地解释了超形变(SD)带的性质,利用包括对相互作用的 Woods-Saxon 势成功地解释了 $A \sim 190$ 区 SD 带动力学转动惯量 $J^{(2)}$ 随转动频率 $\hbar\omega$ 逐渐上升<sup>[1]</sup>。但是 $^{193}\text{Tl}$  SD 带的实验数据与理论计算并不一致<sup>[2,3]</sup>, $^{192}\text{Hg}$  SD 带的新的实验数据<sup>[4]</sup>表明在 $\hbar\omega > 4\text{ MeV}$ 时,动力学转动惯量 $J^{(2)}$ 继续上升,与推转模型预言的下弯有明显的矛盾。此外,推转模型有它固有的缺点。例如,总角动量 $I$ 不是守恒量,而是平均值;没有包括反冲项;通常的一维推转模型认为核是轴对称的,不考虑三轴形变。另一方面,在粒子-转子模型中,总角动量 $I$ 是守恒量,包括反冲项,能同时考虑三轴形变,因此粒子-转子模型,特别是要对电磁跃迁几率作定量估计时,是研究高自旋态的一个主要方法。文献[5]用轴对称的粒子-转子模型定性地解释了超形变全同带的性质。我们的分析表明<sup>[6,7]</sup>,超形变核是一个极好的转子,由文献[6,7] SD 带退激自旋已经较为可靠地被指定。对 $A \sim 190$ 区超形变核中子、质子 Woods-Saxon 势计算的罗兹量<sup>[1]</sup>表明 $Z = 80$ 和 $N = 112$ 在一个相当大的转动频率范围内有一个能隙,因此 $^{192}\text{Hg}$ 看成双幻超形变核,在 $Z = 80$ 质子费米面附近,质子轨道为闯入态 $\left[642\frac{5}{2}\right] (\pi i_{13/2})$ ,正常宇称态为 $\left[514\frac{9}{2}\right]$ , $\left[530\frac{1}{2}\right]$ , $\left[411\frac{1}{2}\right]$ ,对奇 $Z$ 核 $\text{Tl}$ ,最后一个质子填充在 $\left[642\frac{5}{2}\right]$ 轨道,不同 $i$ 壳之间混合较弱,因此可以只考虑单 $i$ 壳的粒子-转子模型,对 $^{193}\text{Tl}$ 其组态为 $^{192}\text{Hg} \otimes \pi \left[642\frac{5}{2}\right]$ 。本文的主要目的是利用单 $i$ 壳的三轴粒子-转子模型,以 $^{193}\text{Tl}$ 为例,计算超形变带的 $\gamma$ 跃迁能量 $E_\gamma$ ,两类转动惯量 $J^{(1)}$ 和 $J^{(2)}$ ,并与实验值进行比较,预言约化跃迁几率 $B(M1)$ 以及动力学电四极矩 $Q^{(1)}$ 和 $Q^{(2)}$ ,指出粒子-转子模型用于 SD 带的分析是可行的。

\* 国家自然科学基金和国家教委博士点基金资助。

粒子-转子模型哈密顿量为<sup>[8]</sup>

$$H_{\text{pr}} = H_{\text{rot}} + H_{\text{intr}}, \quad (1)$$

其中转子哈密顿量

$$H_{\text{rot}} = \sum_{K=1}^3 \frac{1}{2J_K} (I_K - j_K)^2, \quad (2)$$

这里  $I$  是总角动量,  $j$  是单粒子角动量;  $J_K$  是惯量矩, 我们采用不可压缩无旋流体模型的惯量矩公式.

$$J_K = \frac{4}{3} J_0(I) \sin \left( \gamma + \frac{2}{3}\pi K \right), \quad K = 1, 2, 3, \quad (3)$$

这里  $J_0(I)$  与 SD 带自旋值有关, 由于 W-Z 公式<sup>[9]</sup>

$$E(I) = a [\sqrt{1 + bI(I+1)} - 1], \quad (4)$$

极其精确地描述了超形变带的带结构<sup>[6,7]</sup>, 则由(4)式得到  $J_0(I)$  的具体表达式. (4)式变形为

$$E(I) = \frac{1}{2J_0(I)} I(I+1), \quad (5)$$

则

$$\begin{aligned} J_0(I) &= \frac{1}{ab} \frac{1 + \sqrt{1 + bI(I+1)}}{2} \\ &= J_0 \frac{1 + \sqrt{1 + bI(I+1)}}{2}. \end{aligned} \quad (6)$$

由(4)式拟合实验级联  $\gamma$  跃迁能量  $E_\gamma$  估计参数  $J_0, b$ .

内禀哈密顿量

$$H_{\text{intr}} = \sum_v (\epsilon_v - \lambda) a_v^+ a_v + \frac{\Delta}{2} \sum_{\mu v} \delta(\tilde{\mu}_v) (a_\mu^+ a_v^+ + a_v a_\mu), \quad (7)$$

$\epsilon_v$  表示角动量为  $\mathbf{j}$  的单粒子在三轴形变四极势  $V(\gamma)$  中的单粒子能量,  $\lambda$  为费米能,  $\Delta$  为能隙参数,  $\tilde{\mu}$  为状态  $\mu$  的时间反演态.

$$V(\gamma) = -\kappa \left[ \cos \gamma Y_{20}(\theta, \varphi) - \frac{1}{\sqrt{2}} \sin \gamma (Y_{22}(\theta, \varphi) + Y_{2-2}(\theta, \varphi)) \right], \quad (8)$$

这里  $\kappa$  是能量单位, 与四极形变参数  $\beta$  有关, 对  $^{193}\text{Tl}$  超形变带, 最后一个质子填充在  $[642 \frac{5}{2}]$  轨道, 在  $\beta \approx 0.5$  附近,  $\kappa \approx 7\text{MeV}$ , 这样选取的  $\kappa$  值与  $i_{13/2}$  子壳的 Nilsson 能级位置大抵相当<sup>[8]</sup>.

先求出单粒子能量  $\epsilon_v$  和内部波函数  $\chi_v$ .

$$\chi_v = \sum_{\sigma} C_{\sigma}^{(v)} \phi_{\sigma}, \quad (9)$$

$$\tilde{\chi}_v = \sum_{\sigma} (-)^{j-\sigma} C_{\sigma}^{(v)} \phi_{-\sigma}. \quad (10)$$

由时间反演态能量简并,  $\Omega$  取值限于  $\dots, -\frac{3}{2}, \frac{1}{2}, \frac{5}{2}, \dots$ 。用强耦合基底, 对角化(1)式, 基函数为

$$\Psi_{MK}^{I\nu} = \sqrt{\frac{2I+1}{16\pi^2}} \sum_{\alpha} C_{\alpha}^{(\nu)} [D_{MK}^I \phi_{\alpha} + (-)^{I-i} D_{M-K}^I \phi_{-\alpha}], \quad (11)$$

由  $D_2$  对称,  $K-\Omega$  限于取偶数, 从而得到本征值和本征函数

$$\Psi_M^I = \sum_{K,\nu} a_K^K \Psi_{MK}^{I\nu}. \quad (12)$$

约化跃迁几率

$$B(\mathcal{O}\lambda; I_i \rightarrow I_f) = \frac{1}{2I_i + 1} |\langle I_f | \mathcal{U}(\mathcal{O}\lambda) | I_i \rangle|^2, \quad (13)$$

对作用是用标准的 BCS 方法计算的。

利用能量本征值, 得到运动学转动惯量  $J^{(1)}$  和动力学转动惯量  $J^{(2)}$ ,

$$J^{(1)}(I-1) = \frac{2I-1}{E_r(I \rightarrow I-2)} \hbar^2, \quad (14)$$

$$J^{(2)}(I) = \frac{4\hbar^2}{E_r(I+2 \rightarrow I) - E_r(I \rightarrow I-2)}. \quad (15)$$

为了与  $^{193}\text{Tl}$  SD 带的实验数据进行比较, 假定 SD 带退激自旋  $I_0$  已经指定<sup>⑦</sup>, 即对  $^{193}\text{Tl}(b1)$ ,  $I_0 = 19/2(E_r(I_0 + 2 \rightarrow I_0) = 228.1\text{keV})$ , 对  $^{193}\text{Tl}(b2)$ ,  $I_0 = 21/2(E_r(I_0 + 2 \rightarrow I_0) = 248.3\text{ keV})$ 。因此 band1 和 band2 是  $^{193}\text{Tl}$  超形变 yrast 态, 它们的 signature 不同。注意到 favoured (unfavoured) signature 定义为

$$\alpha_f = \frac{1}{2} (-)^{j-\frac{1}{2}} \left( \alpha_u - \frac{1}{2} (-)^{j+\frac{1}{2}} \right), \quad (16)$$

而总自旋  $I$  与 signature  $\alpha$  关系为

$$I = \alpha \bmod 2. \quad (17)$$

对  $j = 13/2, \alpha_f = 1/2, \alpha_u = -1/2$ , 因此  $^{193}\text{Tl}(b2)$  为优先态 (f 态), 而  $^{193}\text{Tl}(b1)$  为非优先态 (u 态), 由于它们都为 Yrast 态, 计算中采用同一组参数, 计算的级联  $\gamma$  跃迁能量  $E_\gamma$ , 用测量的优先态的最低能级的  $\gamma$  跃迁能量规范化, 即由计算的  $E_\gamma$  等于测量值来决定能量单位  $\kappa$ 。考虑到测量的  $248.3\text{ keV}$  误差较大, 用  $E_\gamma(I = 29/2 \rightarrow 25/2) = 287.6\text{keV}$  来决定  $\kappa$  ( $\kappa = 7.4992\text{MeV}$ )。表 1 给出了  $i_{13/2}$  三轴粒子-转子模型计算的  $^{193}\text{Tl}$  超形变带  $\gamma$  跃迁能量, 并与实验值进行了比较。使用参数为:  $\gamma = 4.5^\circ, \Delta = 0.045\kappa, \lambda = -0.55\kappa, J_0 = 620/\kappa, b = 2.3 \times 10^{-4}$ 。运动学转动惯量  $J^{(1)}$  和动力学转动惯量  $J^{(2)}$  由图 1 给出。由表 1 和图 1 可见:

(1) 对  $^{193}\text{Tl}$  (b1) 计算的级联  $\gamma$  跃迁能量  $E_\gamma$  与测量值最大偏离为  $3.5\text{ keV}$ , 而  $^{193}\text{Tl}$  (b2) 最大偏离只有  $1.1\text{keV}$ , 定义方均根偏差

$$\sigma = \sqrt{\frac{1}{n} \sum_l |E_\gamma(\text{cal.}I) - E_\gamma(\text{exp.}I)|^2}, \quad (18)$$

则对 band1 和 band2,  $\sigma$  分别为 1.8 keV 和 0.6 keV, 考虑到计算中对两条带采用同一组参数,使得全部 26 个点的理论值与实验值极好地符合, 这种情况对正常形变态也是不多见的。因此对  $^{193}\text{Tl}$  超形变核态可以看成一个在三轴形变势场中运动的  $i_{13/2}$  准质子与转动核心耦合的结果。理论与实验的符合也间接证明了我们指定的  $^{193}\text{Tl}$  SD 带退激自旋  $I_0$  是正确的<sup>[7]</sup>。

(2) 由方程(4)选取参量  $J_0 = 620/\kappa \approx 82.7 (\text{fs}^2 \text{MeV}^{-1})$ ,  $b = 2.3 \times 10^{-4}$  与文献[7]给出的  $^{192}\text{Hg}$  的数据基本是一致的, 而  $\gamma = 4.5^\circ$  与 W-Z 公式<sup>[9]</sup>假定非轴对称度不大 ( $\sin^2 3\gamma \ll 1$ ) 是一致的, 因此理论值与实验值的符合表明方程(4)极好地描写超形变核态决不是偶然的。

(3) 图 1 和文献 [2,3] 推转模型计算的动力学转动惯量  $J^{(2)}$  相比较, 对  $^{193}\text{Tl}$  两条超形变带  $J^{(2)}$  随  $I$  的增加而增加, 重现实验值, 而推转模型预言的下弯与实验不一致<sup>[2,3]</sup>。

(4) 对  $^{193}\text{Tl}$  超形变核态, 能隙参数  $\Delta = 0.045\kappa \approx 0.34\text{MeV} (\kappa \approx 7.5\text{MeV})$ , 远小于正常形变核的

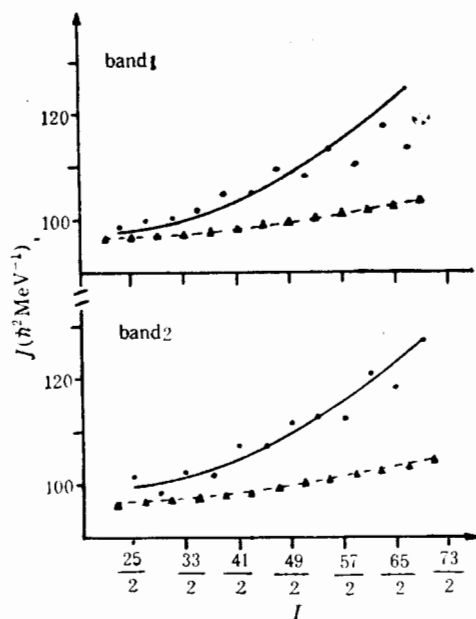


图 1  $^{193}\text{Tl}$  SD 带两类转动惯量理论值与实验值比较

实线为  $J^{(2)}$ , 虚线为  $J^{(1)}$  的理论值, 而圆点和三角分别表示测量值。

表 1  $^{193}\text{Tl}$  超形变带  $\gamma$  跃迁能量

| band 1 |                                       |                      | band 2 |                                       |                      |
|--------|---------------------------------------|----------------------|--------|---------------------------------------|----------------------|
| I      | $E_\gamma(I \rightarrow I - 2)$ (keV) |                      | I      | $E_\gamma(I \rightarrow I - 2)$ (keV) |                      |
|        | cal.                                  | exp. <sup>[12]</sup> |        | cal.                                  | exp. <sup>[12]</sup> |
| 23/2   | 227.5                                 | 228.1                | 25/2   | 247.3                                 | 248.3                |
| 27/2   | 268.4                                 | 268.6                | 29/2   | 287.6                                 | 287.6                |
| 31/2   | 309.0                                 | 308.6                | 33/2   | 327.4                                 | 328.0                |
| 35/2   | 349.1                                 | 348.4                | 37/2   | 366.7                                 | 366.9                |
| 39/2   | 388.8                                 | 387.7                | 41/2   | 405.4                                 | 405.9                |
| 43/2   | 427.8                                 | 426.0                | 45/2   | 443.4                                 | 443.0                |
| 47/2   | 466.1                                 | 464.1                | 49/2   | 480.5                                 | 480.1                |
| 51/2   | 503.5                                 | 500.7                | 53/2   | 516.9                                 | 515.9                |
| 55/2   | 539.9                                 | 537.6                | 57/2   | 552.4                                 | 551.3                |
| 59/2   | 575.4                                 | 573.1                | 61/2   | 586.9                                 | 586.8                |
| 63/2   | 609.7                                 | 609.3                | 65/2   | 620.4                                 | 619.9                |
| 67/2   | 642.9                                 | 643.2                | 69/2   | 652.9                                 | 653.6                |
| 71/2   | 674.9                                 | 678.4                | 73/2   | 684.3                                 | 685.1                |

$$\Delta = \frac{12}{\sqrt{A}} \text{ (MeV)} \approx 0.86 \text{ MeV},$$

表明超形变核态对力大大减弱,但不等于零。这一结论与推转模型的估计是一致的。

(5) 利用粒子-转子模型波函数计算了  $^{193}\text{Tl}$  SD 带的磁偶极跃迁几率  $B(M1)$  和动力学电四极矩  $Q^{(1)}$  和  $Q^{(2)}$ 。结果由图 2 和图 3 给出, 这里  $Q^{(1)}$  和  $Q^{(2)}$  由下述公式定义:

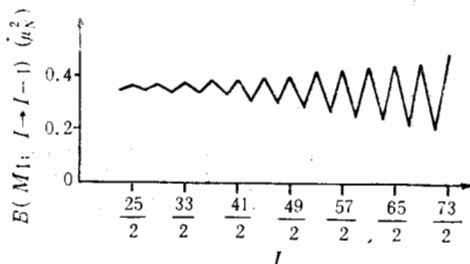


图 2  $^{193}\text{Tl}$  超形变带磁偶极跃迁几率  
使用参数:  $g_1 = 1, g_u = 3.91, g_R = 0.40$ ,  
其它同图 1。

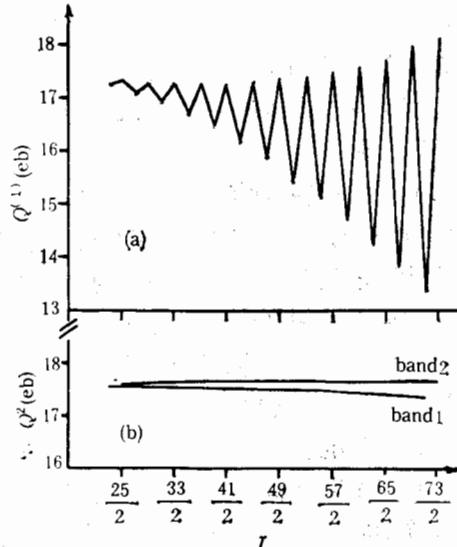


图 3  $^{193}\text{Tl}$  超形变带动力学电四极矩  $Q^{(1)}$  和  $Q^{(2)}$   
使用参数: 等效电荷  $e_{\text{eff}} \langle r^2 \rangle / Q_0 = 0.1e, Q_0 = 18 \text{ eb}$ ,  
其它同图 1。

$$B(E2; I \rightarrow I-1) = \frac{5}{16\pi} \langle IK20 | I-1K \rangle^2 Q^{(1)^2},$$

$$B(E2; I \rightarrow I-2) = \frac{5}{16\pi} \langle IK20 | I-2K \rangle^2 Q^{(2)^2}. \quad (19)$$

由图可见,在我们选定的参数下,平均磁偶极跃迁几率  $B(M1) \approx 0.35 \mu_N^2$ , 且有  $B(M1; \alpha_t I \rightarrow \alpha_u I - 1) > B(M1; \alpha_u I \rightarrow \alpha_t I - 1)$ 。对动力学电四极矩  $Q^{(2)}$  在观测自旋范围内基本为常数, 且有  $Q^{(2)}(\text{band2})$  略大于  $Q^{(2)}(\text{band1})$ , 而  $Q^{(1)}$  则出现明显的振荡, 表明  $^{193}\text{Tl}(\text{b}1)$  到  $^{193}\text{Tl}(\text{b}2)$  的约化电四极跃迁几率  $B(E2; \Delta I = 1)$  随着自旋增加迅速减小, 而 band2 到 band1 的跃迁  $B(E2; \Delta I = 1)$  变化甚微。

由于能谱并不灵敏地依赖于波函数, 因此在一合理范围内选用不同参数可以给出同样的结果, 但是电磁跃迁几率极其灵敏地依赖于核的波函数, 因此要确切地决定超形变核的性质, 需要测量超形变态的电磁跃迁几率, 这是一项极其困难的工作。

## 参 考 文 献

- [1] M. A. Riley et al., *Nucl. Phys.*, **A512** (1990) 178.
- [2] P. B. Fernandez et al., *Nucl. Phys.*, **A517** (1990) 386.
- [3] P. R. Chasman, *Phys. Lett.*, **B242** (1992) 317.
- [4] T. Lauritsen et al., *Phys. Lett.*, **B279** (1992) 239.
- [5] W. Nazarewicz et al., *Phys. Rev. Lett.*, **64** (1990) 1654.
- [6] 邢正、陈星藻, 高能物理与核物理, **15** (1991) 1020。陈星藻、邢正, 高能物理与核物理, **15** (1991) 1094。

- [7] C. S. Wu, J. Y. Zeng, Z. Xing, X. Q. Chen and J. Meng, *Phys. Rev.*, **C45** (1992) 261.  
 [8] A. Bohr and B. Mottelson, *Nuclear Structure Vol. II*, Benjamin, New York, 1975.  
 [9] 吴崇试、曾谨言,高能物理与核物理,8(1984)219, 445; 9 (1985) 77, 214.  
 C. S. Wu and J. Y. Zeng, *Commun. in Theor. Phys.*, 8(1987) 51.

## THE ANALYSIS OF SUPERDEFORMED BANDS IN THE PARTICLE-ROTOR MODEL

Chen Xingqu Xing Zheng

(Department of Modern Physics, Lanzhou University, Lanzhou 730000)

Received on January 5, 1993.

### Abstract

Superdeformed bands in  $^{193}\text{Tl}$  are analyzed by means of the triaxial-particle-rotor model. An overall and excellent agreement between the calculated and observed spectra  $E_r$ , kinematic moment of inertia and dynamic moment of inertia is obtained. The calculated  $B(M1)$  and dynamical quadrupole moments  $Q^{(1)}$  and  $Q^{(2)}$  are given. It is pointed out that the particle-rotor model can be used to analyze the superdeformed bands in nuclei.

**Key words** nuclear structure, rotational band, superdeformed band, particle-rotor model.